

СООБЩЕНИЯ  
ОБЪЕДИНЕННОГО  
ИНСТИТУТА  
ЯДЕРНЫХ  
ИССЛЕДОВАНИЙ  
ДУБНА



Б-732

18/41-74

1-8131

В.И.Богатин, Е.Л.Григорьев, О.В.Ложкин

4472/2-74

КИНЕМАТИЧЕСКИЕ ХАРАКТЕРИСТИКИ ИЗОТОПОВ  
ВОДОРОДА И ГЕЛИЯ ИЗ РЕАКЦИИ  $p + {}^9Be$   
ПРИ 660 МЭВ

**1974**

ЛАБОРАТОРИЯ ЯДЕРНЫХ ПРОБЛЕМ

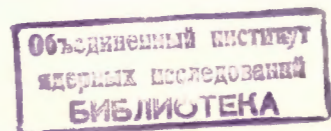
1-8131

\*  
В.И.Богатин, Е.Л.Григорьев, О.В.Ложкин \*

**КИНЕМАТИЧЕСКИЕ ХАРАКТЕРИСТИКИ ИЗОТОПОВ  
ВОДОРОДА И ГЕЛИЯ ИЗ РЕАКЦИИ  $p + {}^9Be$   
ПРИ 660 МЭВ**

---

\* Сотрудники Радиевого института им. В.Г.Хлопина.



Богатин В.И., Григорьев Е.Л., Ложкин О.В.

1-8131

Кинематические характеристики изотопов водорода и гелия  
из реакции  $p + {}^9Be$  при 660 МэВ

Методом  $dE/dx \times E$  измерены кинематические характеристики изотопов водорода и гелия, образующихся при взаимодействии протонов с энергией 660 МэВ с ядрами  ${}^9Be$ . Получены абсолютные дифференциальные сечения образования указанных продуктов под углом  $\theta = 90^\circ$ , энергетические и угловые распределения изотопов  ${}^3,4He$ . лаб.

Сообщение Объединенного института ядерных исследований  
Дубна, 1974

При взаимодействии нуклонов высокой энергии с легкими ядрами, как показывают результаты экспериментальных и теоретических работ, эффекты, обусловленные внутриядерными корреляциями нуклонов, играют значительную роль. Особенно отчетливо это проявляется в реакциях квазиупругого выбивания частиц, из анализа которых при определенных допущениях можно получить приведенные ширины многонуклонных ассоциаций в легких ядрах.

В многочастичных ядерных реакциях, характерных для высокой энергии падающих частиц, эффекты ассоциирования также должны иметь определяющее значение, однако в этом случае прямое извлечение информации о структуре ядер сильно затруднено. Поэтому здесь имеет смысл решение обратной задачи, когда величины, характеризующие ассоциирование нуклонов в ядре, вводятся в теорию феноменологически и затем определяются из сравнения расчетов с экспериментальными данными, подобно тому, как, например, из опытов по рассеянию определяются формфакторы ядер. В этом случае, естественно, требуются очень точные экспериментальные данные по целому ряду характеристик продуктов многочастичных реакций. Недостаточность экспериментальной информации в настоящее время приводит к большой неопределенности выводов о структуре легких ядер, которые делаются, например, на основе моделирования по методу Монте-Карло каскадных процессов в ядрах. Поэтому получение дополнительной более точной информации о ядерных реакциях при высоких энергиях остается до сих пор важной задачей.

получения некоторых характеристик вторичных частиц, образующихся при взаимодействии протонов  $66\text{O}$  МэВ с ядрами  $^9\text{Be}$  в условиях их точной идентификации.

Методика эксперимента была подобна методике, использованной в работе<sup>1/</sup>. Толщина мишени из  $^9\text{Be}$ /числота 99,99% составляла  $2,38 \text{ mg/cm}^2$ . Толщина первого детектора  $dE/dX$  в телескопе была равна  $40 \text{ mkm}$ . Рис. 1 иллюстрирует полученное в эксперименте разрешение частиц по  $Z$  и  $M$  и относительные сечения их образования в следующих энергетических диапазонах:  $^1\text{H}$  -  $3 \div 11 \text{ MэВ}$ ;  $^2\text{H}$  -  $5 \div 14 \text{ MэВ}$ ;  $^3\text{H}$  -  $6 \div 17 \text{ MэВ}$ ;  $^3\text{He}$  -  $7 \div 33 \text{ MэВ}$ ;  $^4\text{He}$  -  $8 \div 33 \text{ MэВ}$ ;  $^6\text{Li}$  и  $^7\text{Li}$  -  $16 \div 36 \text{ MэВ}$ .

Под углом вылета частиц  $\theta_{\text{лаб.}} = 90^\circ$  были измерены абсолютные дифференциальные сечения ( $d\sigma/d\Omega$ ) образования различных вторичных частиц в указанных энергетических диапазонах. Ниже в таблице приведены полученные значения  $d\sigma/d\Omega$ ; приведенные ошибки являются статистическими /абсолютные ошибки составляют величину около 10%/.

При измерении дифференциальных энергетических спектров различных изотопов водорода и гелия выявился ряд характерных качественных особенностей кинематических характеристик вторичных частиц в изучаемой реакции.

На рис. 2 приведены дифференциальные энергетические спектры ( $d^2\sigma/dEd\Omega$ ) изотопов  $^2\text{H}$ ,  $^3\text{H}$ ,  $^3\text{He}$  и  $^4\text{He}$ , испущенных под углом  $\theta_{\text{лаб.}} = 90^\circ$ . На этом рисунке видно подобие спектров двух изобарных продуктов  $^3\text{H}$  и  $^3\text{He}$  и относительное изменение "жесткости" спектров  $^2\text{H}$ ,  $^3\text{H}$ ,  $^3\text{He}$  и  $^4\text{He}$ . Аналогичный характер спектров этих изотопов отмечался ранее в работе<sup>1/</sup>, в которой изучалась реакция  $p + ^{12}\text{C}$ .

При уменьшении угла испускания частиц дифференциальные энергетические спектры становятся постепенно более жесткими, однако это изменение в пределах углов  $\theta_{\text{лаб.}} \leq 60^\circ$  незначительно, что следует из рис. 3 и 4, где приведены дифференциальные энергетические спектры  $^3\text{He}$  и  $^4\text{He}$  для различных углов в лабораторной системе.

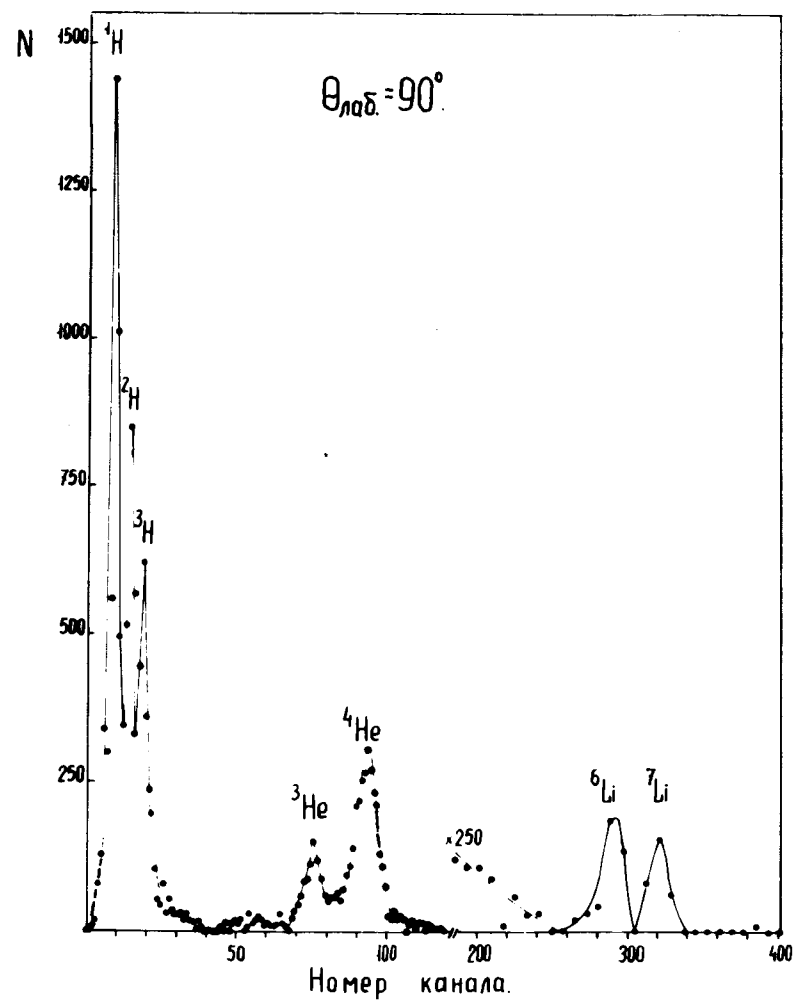


Рис. 1. Распределение изотопов водорода, гелия и лития ( $\theta_{\text{лаб.}} = 90^\circ$ ).

Таблица

Изотоп	$^1\text{H}$	$^2\text{H}$	$^3\text{H}$	$^3\text{He}$	$^4\text{He}$	$^6\text{He}$	$^6\text{Li}$	$^7\text{Li}$
$\frac{d\sigma}{d\Omega}(90^\circ) \frac{\text{mb}}{\text{sr}}$	$7,96 \pm 0,1$	$5,56 \pm 0,1$	$4,84 \pm 0,1$	$2,46 \pm 0,07$	$6,81 \pm 0,07$	$0,28 \pm 0,02$	$0,034 \pm 0,006$	$0,028 \pm 0,005$

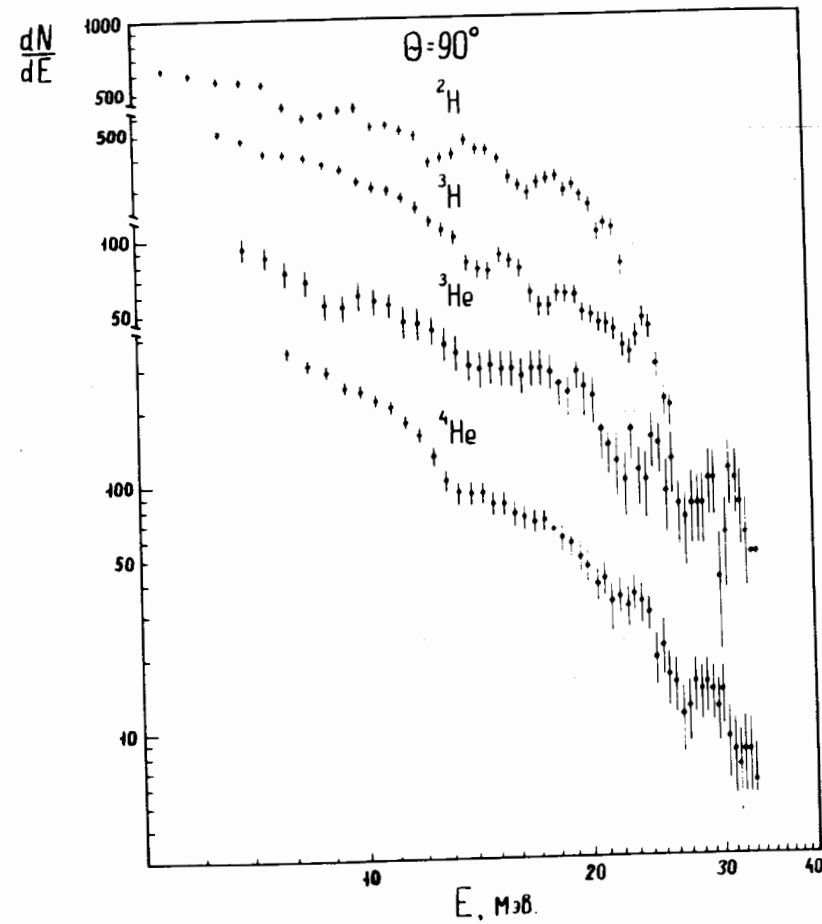


Рис. 2. Дифференциальные энергетические спектры  $^2\text{H}$ ,  $^3\text{H}$ ,  $^3\text{He}$  и  $^4\text{He}$ .  $\theta_{\text{лаб.}} = 90^\circ$ .

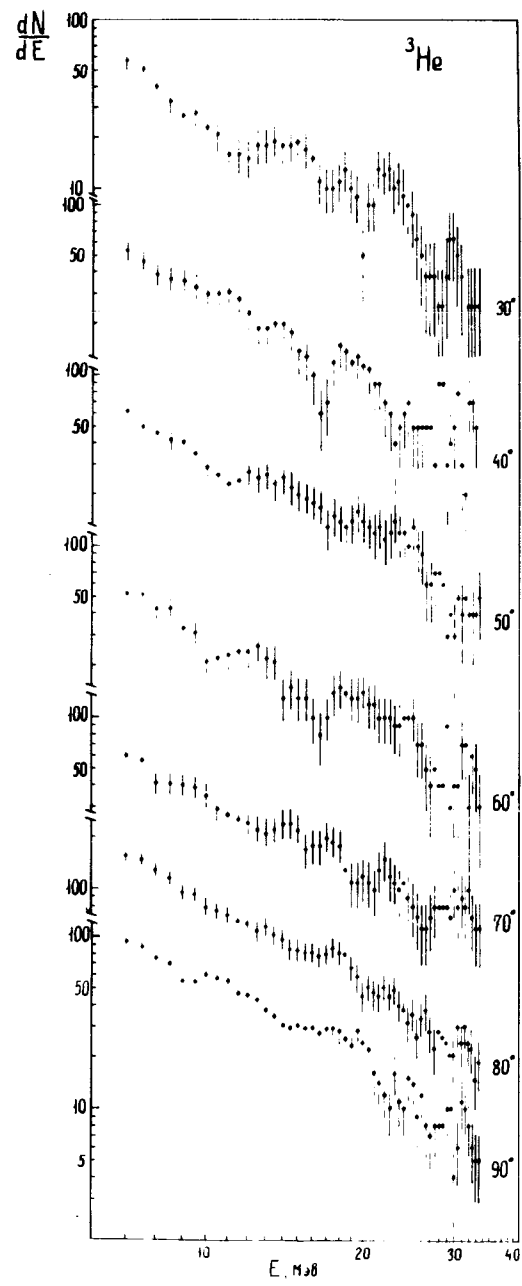


Рис. 3. Дифференциальные энергетические спектры  ${}^3\text{He}$  при различных углах  $\theta$  лаб.

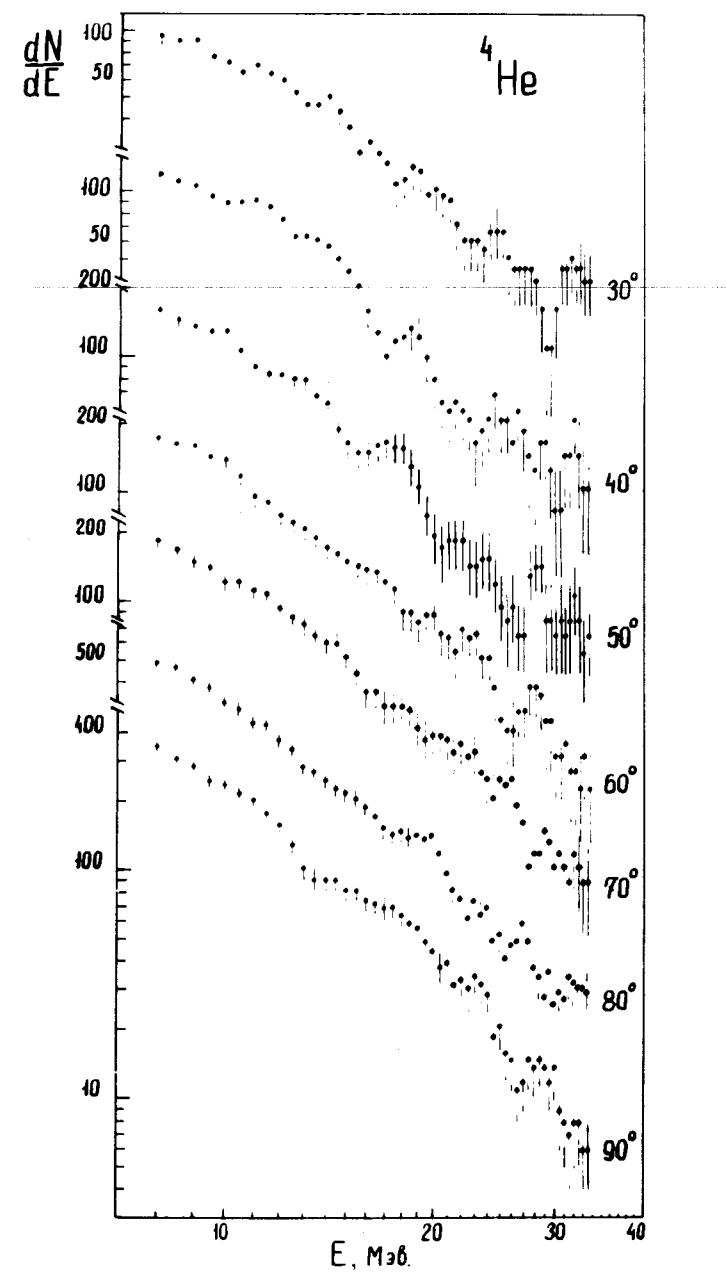


Рис. 4. Дифференциальные энергетические спектры  ${}^4\text{He}$  при различных углах  $\theta$  лаб.

Характер изменения спектров  ${}^3\text{He}$  и  ${}^4\text{He}$  с уменьшением угла  $\theta_{\text{лаб.}}$  одинаков.

Используя то обстоятельство, что функция  $d^2\sigma/dEd\Omega$  слабо зависит от угла  $\theta_{\text{лаб.}}$ , можно попытаться восстановить полные спектры  $d^2\sigma/dEd\Omega$  изотопов  ${}^3\text{He}$  и  ${}^4\text{He}$  в реакциях  $p + {}^9\text{Be}$  под углом  $\theta_{\text{лаб.}} = 5,5^\circ$ . На рис. 5 показаны соответствующие спектры, составленные из высокозергетических участков энергетических распределений, измеренных в работе /2/, и низкозергетических участков, полученных в данной работе. Как следует из рисунка, визуально оба участка достаточно хорошо соответствуют друг другу и это соответствие может только улучшиться, если учесть уменьшение сечения  $d\sigma/d\Omega$  в области малых углов /рис. 6/. Полученные таким образом полные дифференциальные спектры  ${}^3\text{He}$  и  ${}^4\text{He}$  пересекаются: в то время как отношение сечений образования  ${}^4\text{He}$  к  ${}^3\text{He}$  больше единицы в области энергий менее 40-50 МэВ, это отношение вблизи границы квазиупругого выбивания составляет величину порядка 0,1.

Угловые распределения изотопов  ${}^3\text{He}$  и  ${}^4\text{He}$  в реакциях  $p + {}^9\text{Be}$  имеют максимумы в области углов  $\theta_{\text{лаб.}} = 50-70^\circ$ . На рис. 6 полученные данные показаны вместе с измеренными ранее зависимостями  $d\sigma/d\Omega$  для  ${}^3\text{He}$  и  ${}^4\text{He}$  в реакциях  $p + {}^{12}\text{C}$  /1/. В целом характер функций  $d\sigma(\theta)/d\Omega$  для  ${}^3\text{He}$  и  ${}^4\text{He}$  в обеих реакциях один и тот же. Можно лишь отметить более резкое падение сечений  $d\sigma/d\Omega$  при малых углах и некоторое перемещение максимума углового распределения  ${}^4\text{He}$  в сторону больших углов для реакции  $p + {}^9\text{Be}$ .

Как отмечалось в работе /1/, наличие максимума в угловых распределениях изотопа  ${}^4\text{He}$  в реакции  $p + {}^{12}\text{C}$  непосредственно связано с квазиволонным взаимодействием падающей и каскадных частиц с  $\alpha$ -кластерами в ядре. Аналогичное заключение справедливо и для реакции  $p + {}^9\text{Be}$ . В этом случае отношение сечений образования  ${}^4\text{He}$  в реакциях  $p + {}^{12}\text{C}$  и  $p + {}^9\text{Be}$  в области максимума функции  $d\sigma(\theta)/d\Omega$  могут приближенно характеризовать отношение эффективных чисел  $\alpha$ -кластеров в ядрах  ${}^{12}\text{C}$  и  ${}^9\text{Be}$ . Это отношение дифференциальных сечений в области углов 50-70° для  ${}^{12}\text{C}$  и  ${}^9\text{Be}$  составляет

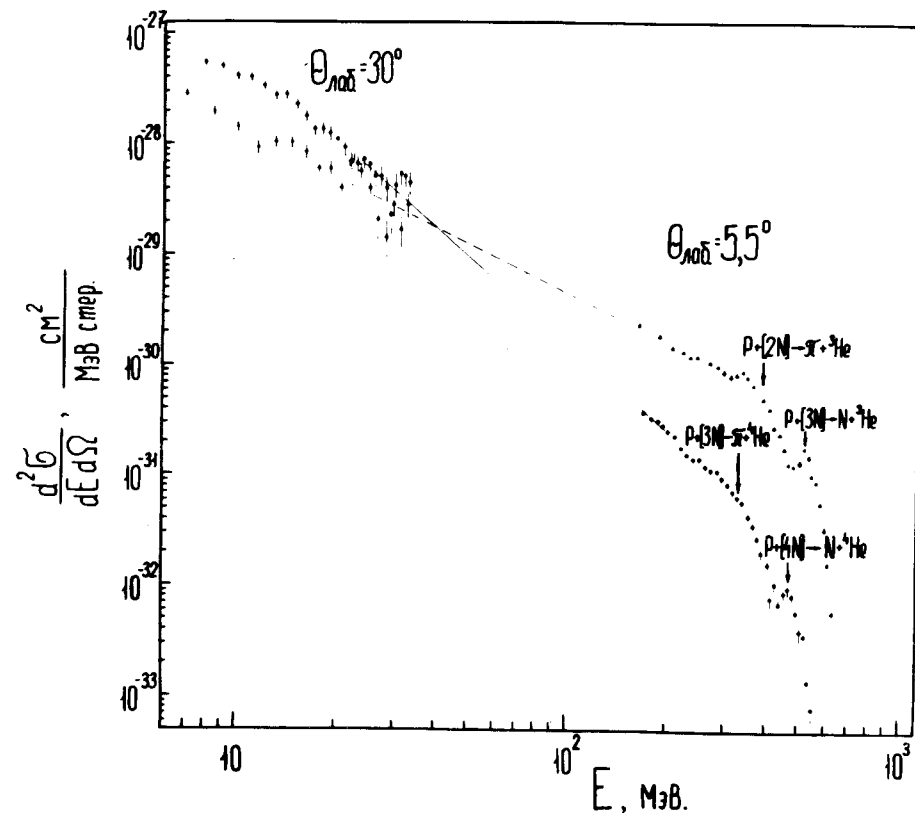


Рис. 5. Дифференциальные энергетические спектры  ${}^{3,4}\text{He}$  в реакциях  $p + {}^9\text{Be}$  при  $E_p = 660$  МэВ для  $\theta_{\text{лаб.}} = 30^\circ$  и  $5,5^\circ$ .

в среднем величину 1,76, что оказывается близким к теоретическому отношению эффективных чисел  $\alpha$ -кластеров в  ${}^{12}\text{C}$  и  ${}^9\text{Be}$ , равном 1,72 /3/. Интересно отметить, что отношение сечений  $d\sigma/d\Omega$  для  ${}^3\text{He}$  из  ${}^{12}\text{C}$  и  ${}^9\text{Be}$  оказывается близким к той же величине - оно составляет 1,8.

Близкие величины отношений получаются и из работы /4/. В этой работе авторы из опытов по квазиупругому выбиванию  ${}^3\text{He}$  и  ${}^4\text{He}$  из ядер  ${}^9\text{Be}$  и  ${}^{12}\text{C}$  под углом  $\theta_{\text{лаб.}} = 5,5^\circ$  приводят верхнюю границу значений эффективных

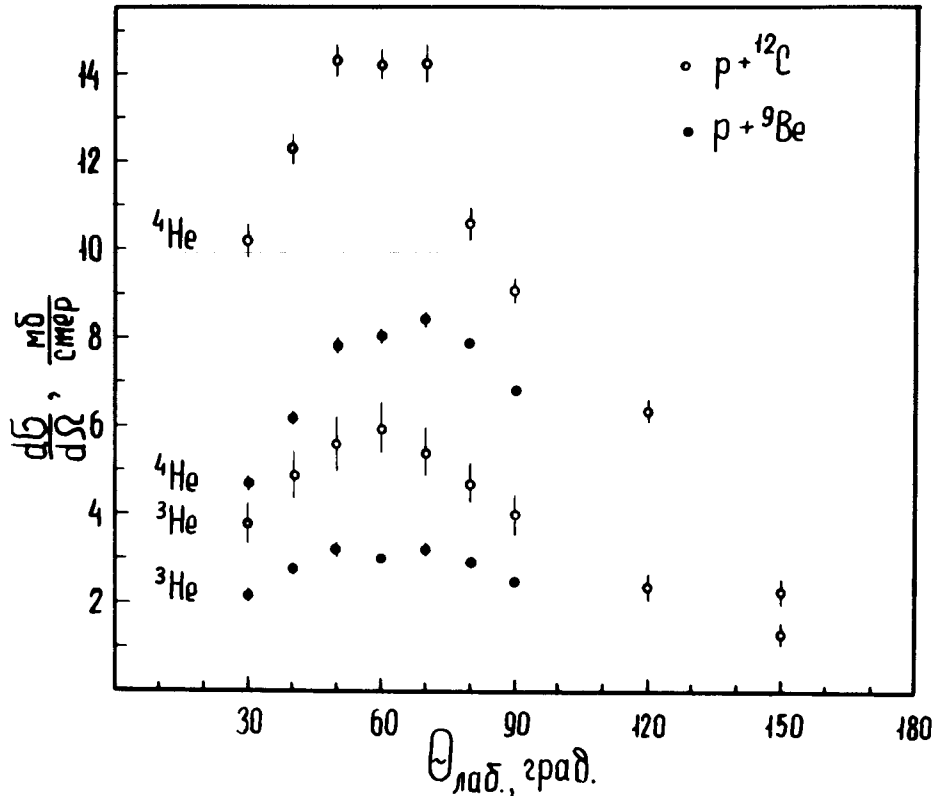


Рис. 6. Угловые распределения изотопов  $^{3,4}\text{He}$  в реакциях  $\text{p} + ^9\text{Be}$  и  $\text{p} + ^{12}\text{C}$  при  $E_p = 660 \text{ МэВ}$ . Указаны статистические ошибки.

чисел кластеров  $^3\text{He}$  и  $^4\text{He}$  в указанных ядрах. Для  $^4\text{He}$  это отношение  $\frac{n(^{12}\text{C})}{n(^9\text{Be})} \leq 3,3$ ; а для  $^3\text{He}$  -  $\leq 2,3$ . Близость

отношений эффективных чисел кластеров  $^3\text{He}$  и  $^4\text{He}$  в ядрах  $^9\text{Be}$  и  $^{12}\text{C}$ , полученных в разных опытах и в разных областях энергий регистрируемых частиц, говорит, по-видимому, о правильности основных положений, лежащих в основе рассмотрения взаимодействия частиц высокой энергии с легкими ядрами.

выражают свою признательность члену-корреспонденту АН СССР В.П.Джелеву за предоставленную возможность произвести эксперимент на синхроциклоне Лаборатории ядерных проблем ОИЯИ, профессору Н.А.Перфилову за постоянный интерес и внимание к работе, кандидату физико-математических наук В.В.Андейчикову, принявшему участие в обсуждении эксперимента, и М.Л.Медведевой за изготовление полупроводниковых детекторов.

#### Литература

1. В.И.Богатин, Е.Л.Григорьев, О.В.Ложкин. Сообщение ОИЯИ, 1-7653, Дубна, 1973.
2. В.И.Комаров, Г.Е.Косарев, Е.С.Кузьмин, А.Г.Молоканов, Г.П.Решетников, О.В.Савченко, З.Теш. Препринт ОИЯИ, Р1-7784, Дубна, 1974.
3. В.В.Балашов, А.И.Бояркина, И.Роттер. Nucl.Phys., 59, 417 (1964).
4. В.И.Комаров, Г.Е.Косарев, О.В.Савченко. Препринт ОИЯИ, Р1-4373, Дубна, 1969.

Рукопись поступила в издательский отдел  
22 июля 1974 года.